УЛК 541.128.13

ФИЗИЧЕСКАЯ ХИМИЯ

## Академик Г. К. БОРЕСКОВ, Г. М. ПОЛЯКОВА, А. А. МВАНОВ. В. М. МАСТИХИН

## ИССЛЕДОВАНИЕ МЕХАНИЗМА РЕАКЦИИ ОКИСЛЕНИЯ ДВУОКИСИ СЕРЫ НА ВАНАДИЕВЫХ КАТАЛИЗАТОРАХ

Исследования кинетики реакции окисления двуокиси серы на ванадневых катализаторах (1-3) позволяют предположить, что лимитирующей стадией процесса является взаимодействие кислорода с катализатором. Стационарный состав катализатора определяется концентрациями SO<sub>2</sub> и SO<sub>3</sub> в реакционном газе. На основании результатов исследования стационарного состава ктализатора при равновесии и вдали от равновесия Марс

и Мессен предложили следующую схему реакпии (4):

1) 
$$2V^{5+} + SO_2 + O^{2-} \Rightarrow 2V^{4+} + SO_3$$
,  
2)  $2V^{4+} + {}^{1}/{}_{2}O_{2} \longrightarrow 2V^{5+} + O^{2-}$ .

Первая стадия при протекании каталитической реакции достигает равновесия, вторая стадия является медленной и определяет наблюдаемую скорость реакции.

В данной работе сделана попытка измерить скорости отдельных стадий реакции с целью проверки этого механизма. О скорости стадий судили по изменению содержания V4+ в катализаторе с помощью измерения интенсивности соответствующего сигнала э.п.р. Измерение спектров э.п.р. проводилось в высокотемпературной ячейке (5), позволяющей сигналы э.п.р. катализатора, находящегося в токе реакционной смеси, при температурах до 500° С. Схема установки приведена на рис. 1.

При исследовании использовали катализатор, приготовленный пропиткой бидисперсного силикагеля с удельной поверхностью 180 м<sup>2</sup>/г раствором, содержащим сульфат ванадила и би-

сульфат калия. После пропитки катализатор был высушен и прокален при 500°. Содержание  $V_2 O_5$  в готовом катализаторе составляло 6,5%, отно- $_{\text{тение K}} / V = 3.5.$ 

При изучении процессов окисления и восстановления катализатора запись спектров производилась с интервалом 0.5 мин. Одновременно со спектром катализатора записывался сигнал бокового эталона, по которому контролировалась чувствительность прибора. Об изменении содержания V4+ в катализаторе судили по изменению отношения высоты сигнала  ${
m V}^{\scriptscriptstyle 4+}$  к высоте сигнала эталона. Величину степени восстановления  ${
m heta}$  катализатора определяли путем сравнения интенсивности спектра эталона с интенсивностью сигнала поликристаллического сульфата ванадила. При этом учитывались температурная поправка, поправки на ширину линий и на распределение поля с.в.ч. в резонаторе. Перед измерением скоростей стадий катализатор длительно обрабатывался реакционным газом состава I или II (0,62% SO<sub>2</sub>; 0,36% O<sub>2</sub>;  $7.22\% \text{ SO}_3$  $(0.54\% \text{ SO}_2;$  $7.8\% O_2$ ; 7,15 % SO<sub>3</sub>) до достижения стационарного состава.

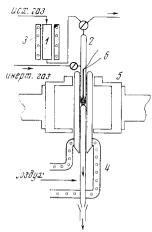


Рис. 1. Схема установки. 1 — предварительный реактор,  $\hat{z}$  — основной реактор, 3 — нагреватель предварительного реактора, 4 — нагреватель воздуха, 5 — ре-6 — выводы терзонатор, мопары

На рис. 2 приведена зависимость стационарной степени восстановления катализатора при обработке реакционным газом состава I и II от температуры. Точки, соответствующие составам газа, отличающимся содержанием кислорода, удовлетворительно ложатся на одну кривую во всем исследованном интервале температур. Этот результат показывает, что стационарный состав катализатора определяется концентрациями  $SO_2$  и  $SO_3$  и не зависит от содержания кислорода в реакционной смеси.

При подаче на катализатор стационарного состава азота, содержащего от 0.02 до 45% кислорода, или аргона (содержание кислорода  $<10^{-4}\%$ ), наблюдалось уменьшение интенсивности сигнала э.п.р., связанное с окислением  $V^{4+}$ . Скорость окисления не зависела от содержания кислорода в газе. На рис. За приведена типичная кривая изменения степени восстановления  $\theta$  со временем после замены реакционного газа состава II азотом, содержащим 5% кислорода, и аргоном. Точки, соответствующие окислению  $V^{4+}$  в аргоне и азоте (с 5%  $O_2$ ) ложатся на одну кривую. Этот результат можно объяснить тем, что после удаления реакционного газа

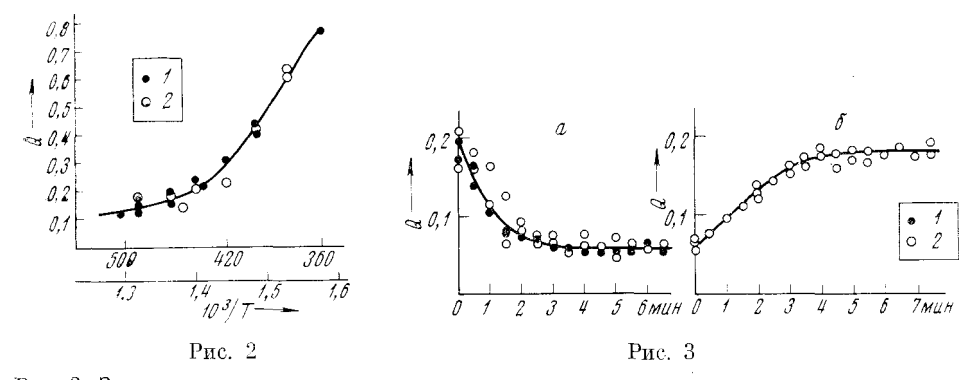


Рис. 2. Зависимость степени восстановления катализатора в стационарных условиях от температуры. 1— реакционный газ состава I, 2— реакционный газ состава II Рис. 3. Изменение степени восстановленности катализатора со временем при  $460^{\circ}$  С. a— замена реакционной смеси состава II аргоном (1) и смесью (азот +5% кислорода) (2);  $\delta$ — восстановление окисленного катализатора реакционной смесью

окисление  $V^{4+}$  в катализаторе происходит за счет  $SO_3$ , связанного с активным компонентом. Скорость окисления кислородом газовой смеси значительно ниже и в этих условиях не может быть измерена.

Как видно из рисунка, окисление V<sup>4+</sup> происходит не до конца и около 10% ванадия остается в восстановленном состоянии. Даже при длительном продувании воздуха через катализатор при 500—550° эта часть ванадия не окисляется, что связано, по-видимому, с блокировкой ее носителем. В дальнейшем эта часть ванадия принималась нереакционноспособной и не учитывалась в расчетах.

Кривые окисления, полученные при различных температурах, удовлетворительно описываются уравнением первого порядка по  $V^{4+}$ . Константы скорости, рассчитанные по уравнению

$$d\theta / d\tau = -k_1 \theta, \tag{1}$$

приведены в табл. 1. Энергия активации реакции окисления  $V^{4+}$  составляет около 10 ккал/моль.

После подачи на окисленный катализатор реакционного газа количество  $V^{4+}$  возрастает до содержания, соответствующего стационарному составу катализатора. Одна из кривых восстановления катализатора представлена на рис. 36.

Экспериментальные результаты удовлетворительно описываются уравнением

$$d\theta / d\tau = k_2(1 - \theta) - k_1\theta. \tag{2}$$

Второй член учитывает протекание процесса окисления  $V^{4+}$  за счет  $SO_3$ , связанного с активным компонентом. Значения  $k_4$ , найденные из кривых восстановления и окисления близки (см. табл. 1).

Наблюдаемый первый порядок по  $V^{4+}$  и  $V^{5+}$  можно объяснить существованием в расплаве биядерных комплексов соединений вападия. В литературе имеются некоторые указания на это  $\binom{6}{5}$ .

Энергия активации процесса восстановления катализатора составила  $\sim -20$  ккал/моль. Отрицательная величина кажущейся энергии актива-

Таблица 1 Значения констант скорости окисления и восстановления (сек<sup>-1</sup>) ваназия в катализаторе

T-pa, °C	0 <sub>cran</sub>	k.,	Из кривых восстановления	
			K 1	<b>€</b> 2
485 460 440 400	$0,45 \\ 0,19 \\ 0,20 \\ 0,38$	0,019 0,014 0,013 0,0054	0,009 0,0105 0,0065	0,00103 0,00204 0,0033

ции, по-видимому, связана с наличием быстрой обратимой экзотермической стадии связывания  $SO_2$  активным компонентом катализатора без переноса электрона к  $V^{5+}$ . Скорость восстановления определяется второй, более медленной стадией, приводящей к образованию  $V^{4+}$ , дающего сигнал э.п.р.

$$V_{2}O_{5} + SO_{2} \rightleftharpoons V_{2}O_{5} \cdot SO_{2} \xrightarrow{k_{2}(1-\theta)} V_{2}O_{4} \cdot SO_{3} \xrightarrow{+1/2} O_{2} V_{2}O_{4} + SO_{3}.$$
(A)
$$(1) \qquad (2) \qquad (3)$$

Здесь  $V_2O_5$  и  $V_2O_4$  условно обозначают активный компонент катализатора в окисленном и восстановленном состоянии. В действительности его со-

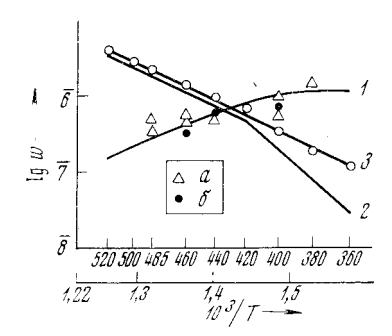


Рис. 4. Зависимость скоростей окисления и восстановления катализатора и каталитической реакции от температуры (скорости выражены в молях  $SO_2$  или  $V_2O_4$  и  $V_2O_5$  на 1 г катализатора в 1 сек). I — окисление  $V^{4+}$  и восстановление  $V^{5+}$  в стационарных условиях, a, b — экспериментальные значения скоростей окисления и восстановления соответственно; b — скаталитическое окисление b (газ состава b); b — скоросте окисления b0, отнесенная к доле пятивалентного вападия в стационарном состоянии

став много сложнее и, вероятно, включает сульфат (пиросульфат) калия и дополнительное количество  $SO_3$ . Константа  $k_2$  зависит от растворимости  $SO_2$ , т. е. от равновесия стадии 1.

В стационарном состоянии  $\theta_{c\tau}$ 

$$k_2(1-\theta_{cr}) = k_1 \theta_{cr} \gg w_3$$

На рис. 4 приведена для стационарных условий зависимость скорости окисления  $k_1\theta_{\rm c\tau}$  и равной ей скорости восстановления  $k_2(1-\theta_{\rm c\tau})$  катализатора от температуры. Скорости, рассчитанные из зависимости констант скоростей и стационарного состава катализатора, с повышением температуры снижаются. Экспериментально определенные значения скоростей экисления и восстановления катализатора лежат достаточно близко друг к другу и к расчетной кривой.

На рис. 4 также приведена температурная зависимость скорости каталитического окисления  $SO_2$  в прямом направлении, определенная проточно-циркуляционным методом ( $^2$ ). При справедливости окислительно-восстановительного механизма скорость каталитической реакции равна  $w_3$  — скорости окисления катализатора кислородом и, следовательно, согласно ( $^4$ ), должна быть много меньше скорости восстановления. В действительности в области температур выше  $420^\circ$  скорость каталитической реакции много больше скорости восстановления катализатора. Это позволяет заключить, что каталитическая реакция протекает по другому пути, не связанному с изменением валентного состояния ванадия. Можно предиоложить, что продукт стадии (1) взаимодействует с  $SO_2$  и  $O_2$  с образованием  $SO_3$  и регенерацией активного компонента

$$V_2O_5 \cdot SO_2 + SO_2 + O_2 \rightarrow V_2O_5 + 2SO_3.$$
 (B)

По этому реакционному пути, который можно назвать ассоциативным, присоединение кислорода к  $SO_2$  не сопровождается образованием скольконибудь длительно существующей формы  $V^{4+}$ , дающей сигнал э.п.р. Первый порядок по кислороду реакции окисления  $SO_2$  позволяет заключить, что лимитирующая стадия пути (B) связана с участием молекулярного кислорода. Кроме того, ее скорость должна быть пропорциональна доле активного компонента в окисленной форме, т. е.  $(1-\theta)$ .

Если скорость каталитической реакции отнести к этой доле, т. е. разделить па  $(1-\theta)$ , то все экспериментальные точки ложатся па одну прямую (кривая  $\beta$  рис. 4), наклоп которой отвечает значению энергии активации 22 ккал/моль.

Таким образом, каталитическая реакция окисления  $SO_2$  при наличии в реакционной смеси  $SO_3$  протекает преимущественно по пути (В). Доля пути (А), вследствие малой скорости стадии (3), невелика, но соотношение констант скорости  $h_1$  и  $h_2$  определяет стационарную степень восстановления активного компонента.

Положение меняется при уменьшении копцентрации  $SO_3$  в реакциопной смеси, т. е. при малых степенях превращения. В этих условиях скорость стадии (3) пути (A) значительно возрастает благодаря легкости отщепления  $SO_3$ . Изучение окисления восстаповленного катализатора кислородом и каталитической реакции в отсутствие  $SO_3$  показало, что скорости этих процессов близки. Поэтому при малых степенях превращения  $SO_2$  реализуется окислительно-восстаповительный механизм.

Институт катализа Сибирского отделения Академии наук СССР Новосибирск Поступило 7 XII 1972

## ПИТИРОВАННАЯ ЛИТЕРАТУРА

<sup>1</sup> Г. К. Боресков, Катализ в производстве серной кислоты, М., 1954. <sup>2</sup> Г. К. Боресков, Р. А. Буянов, А. А. Иванов, Кинетика и катализ, 8, 153, (1967). <sup>3</sup> А. А. Иванов, Г. К. Боресков и др., Кинетика и катализ, 9, 560 (1968) <sup>4</sup> Р. Магs, J. G. Н. Маеssen, Proc. Intern. Congr. Catalysis, 3rd., 1, Amsterdam, 1964, p. 266. <sup>5</sup> Г. К. Боресков, Л. П. Давыдова и др., ДАН, 171, 648 (1966). <sup>6</sup> А. R. Glueck, С. N. Кеппеу, Сhem. Eng., 23 (10), 1257 (1968) <sup>7</sup> С. В. Иваненко, Изучение процесса окислении двуокиси серы на ванадиевых катализаторах, Автореф. кандидатской диссертации, М., 1974. <sup>8</sup> Г. К. Боресков, В. А. Дзисько и др., Кинетика и катализ, 11, 181 (1970). <sup>9</sup> Г. М. Полякова, Г. К. Боресков и др., Кинетика и катализ, 12, 666 (1971).